



ΣΤΟΧΑΣΤΙΚΕΣ ΔΙΕΡΓΑΣΙΕΣ & ΒΕΛΤΙΣΤΟΠΟΙΗΣΗ ΣΤΗ ΜΗΧΑΝΙΚΗ ΜΑΘΗΣΗ

Ενισχυτική Μάθηση με Προσεγγιστικές Μεθόδους:

- 1. Μάθηση Χρονικών Διαφορών (Temporal-Difference Learning)**
- 2. Στοχαστικός Αλγόριθμος Q-Learning**
- 3. Κατανεμημένη Υλοποίηση Ενισχυτικής Μάθησης**
- 4. Αλγόριθμος Bellman-Ford, Δρομολόγηση BGP στο Internet**

καθ. Βασίλης Μάγκλαρης

maglaris@netmode.ntua.gr

www.netmode.ntua.gr

Video Conference μέσω Cisco Webex

Πέμπτη 13/5/2021

ΣΤΟΧΑΣΤΙΚΕΣ ΔΙΑΔΙΚΑΣΙΕΣ & ΒΕΛΤΙΣΤΟΠΟΙΗΣΗ ΣΤΗ ΜΗΧΑΝΙΚΗ ΜΑΘΗΣΗ

Αλγόριθμος Policy Iteration (1/2) (Επανάληψη)

Ορισμός Q -factor

Έστω χρονοσταθερή πολιτική $\pi = \{\mu, \mu, \dots\}$ που οδηγεί σε αναμενόμενα **costs-to-go** $J^\mu(i), \forall i \in \mathcal{X}$ (καταστάσεις του **περιβάλλοντος**) με αποφάσεις του **agent** $a = \mu(i) \in \mathcal{A}_i$

Για κάθε ζεύγος (i, a) στο υπό εξέταση βήμα και πολιτική για τα υπολειπόμενα βήματα $\pi = \{\mu, \mu, \dots\}$ ορίζω τους **Q -factors** $Q^\mu(i, a)$ σαν μέτρο κατάταξης εναλλακτικών άμεσων αποφάσεων $a \in \mathcal{A}_i$ του **agent** που θα οδηγούσαν το **περιβάλλον** σε καταστάσεις j με αναμενόμενα υπολειπόμενα **costs-to-go** $J^\mu(j), \forall j \in \mathcal{X}$

$$Q^\mu(i, a) \triangleq c(i, a) + \gamma \sum_{j=1}^N p_{ij}(a) J^\mu(j)$$

Μια πολιτική $\pi = \{\mu, \mu, \dots\}$ ικανοποιεί τις συνθήκες απληστίας (**greedy conditions**) σε σχέση με τα αναμενόμενα **costs-to-go** $J^\mu(j)$ στα υπολειπόμενα βήματα όταν σε κάθε βήμα και $\forall i \in \mathcal{X}$ ο **agent** επιλέγει $a = \mu(i)$ ώστε

$$Q^\mu(i, \mu(i)) = \min_{a \in \mathcal{A}_i} Q^\mu(i, a), \forall i \in \mathcal{X}$$

Μια πολιτική $\pi^* = \{\mu^*, \mu^*, \dots\}$ είναι βέλτιστη για όλα τα βήματα αν ικανοποιεί τις συνθήκες απληστίας (**greedy conditions**) του δυναμικού προγραμματισμού:

$$Q^{\mu^*}(i, \mu^*(i)) = \min_{a \in \mathcal{A}_i} Q^{\mu^*}(i, a)$$

Σημείωση: Όταν τα άμεσα αναμενόμενα κόστη $c(i, a)$ αντικαθίστανται από **rewards** $r(i, a)$, τα **costs-to-go** $J^\mu(i)$ αποκαλούνται **Value Functions** $V^\mu(i)$ και έχουμε κατ' αντιστοιχία:

$$Q^\mu(i, a) \triangleq r(i, a) + \gamma \sum_{j=1}^N p_{ij}(a) V^\mu(j) \text{ και } Q^{\mu^*}(i, \mu^*(i)) = \max_{a \in \mathcal{A}_i} Q^{\mu^*}(i, a)$$

ΣΤΟΧΑΣΤΙΚΕΣ ΔΙΑΔΙΚΑΣΙΕΣ & ΒΕΛΤΙΣΤΟΠΟΙΗΣΗ ΣΤΗ ΜΗΧΑΝΙΚΗ ΜΑΘΗΣΗ

Αλγόριθμος Policy Iteration (2/2) (Επανάληψη)

Αρχιτεκτονική Actor – Critic

(**A.G. Barto, R.S. Sutton & C.W. Anderson**, "Neuronlike adaptive elements that can solve difficult learning control problems," IEEE Transactions on Systems, Man, and Cybernetics, vol. SMC-13, Sept. – Oct. 1983)

Επαναλήψεις $n = 0, 1, 2, \dots$ από δύο βήματα μέχρι $\mu_{n+1}(i) = \mu_n(i)$, $J^{\mu_{n+1}}(i) = J^{\mu_n}(i)$, ∀ i

Βήμα 1. Policy Evaluation (ο **critic** αναλύει τις αποφάσεις του **agent**):

Με βάση την παρούσα πολιτική $\pi_n = \{\mu_n, \mu_n, \dots\}$ υπολογίζονται τα **costs-to-go**

$$J^{\mu_n}(i) = c(i, \mu_n(i)) + \gamma \sum_{j=1}^N p_{ij}(\mu_n(i)) J^{\mu_n}(j) \text{ για } \forall i$$

Για $\forall i$ και $\forall a \in \mathcal{A}_i$ υπολογίζονται τα **Q-factors**: $Q^{\mu_n}(i, a) = c(i, a) + \gamma \sum_{j=1}^N p_{ij}(a) J^{\mu_n}(j)$

Βήμα 2. Policy Improvement (ο **actor** καθοδηγεί τις αποφάσεις του **agent**):

Η πολιτική π_n βελτιώνεται σε π_{n+1} μέσω της $\mu_{n+1}(i) = \arg \min_{a \in \mathcal{A}_i} Q^{\mu_n}(i, a)$ για $i = 1, 2, \dots, N$

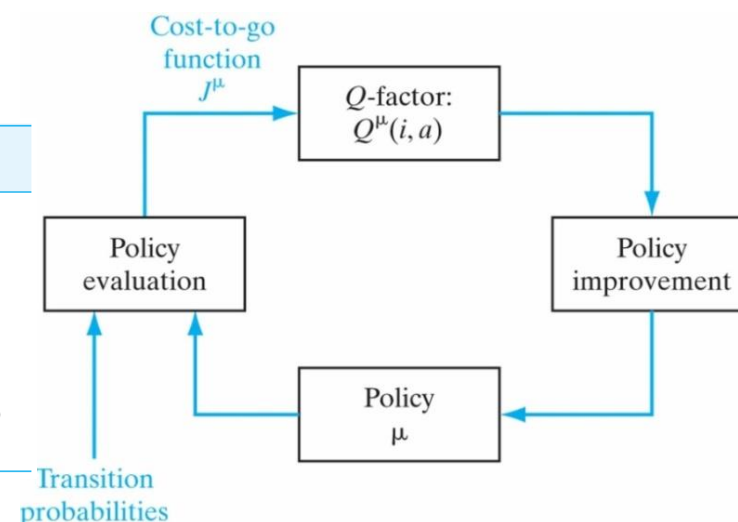
$\arg \min_x f(x)$: Η τιμή της x που οδηγεί την $f(x)$ σε ελάχιστο

TABLE 12.1 Summary of the Policy Iteration Algorithm

1. Start with an arbitrary initial policy μ_0 .
2. For $n = 0, 1, 2, \dots$, compute $J^{\mu_n}(i)$ and $Q^{\mu_n}(i, a)$ for all states $i \in \mathcal{X}$ and actions $a \in \mathcal{A}_i$.
3. For each state i , compute

$$\mu_{n+1}(i) = \arg \min_{a \in \mathcal{A}_i} Q^{\mu_n}(i, a)$$

4. Repeat steps 2 and 3 until μ_{n+1} is not an improvement on μ_n , at which point the algorithm terminates with μ_n as the desired policy.



Ο αλγόριθμος συγκλίνει σε βέλτιστη πολιτική σε πεπερασμένα βήματα n λόγω πεπερασμένου πλήθους καταστάσεων N και πεπερασμένων επιλογών αποφάσεων

ΣΤΟΧΑΣΤΙΚΕΣ ΔΙΑΔΙΚΑΣΙΕΣ & ΒΕΛΤΙΣΤΟΠΟΙΗΣΗ ΣΤΗ ΜΗΧΑΝΙΚΗ ΜΑΘΗΣΗ

Value Iteration Algorithm (Επανάληψη)

Εκτίμηση των Συναρτήσεων Cost-to-Go μέσω Διαδοχικών Προσεγγίσεων $J_n(i) \rightarrow J_{n+1}(i)$

- Εκκίνηση με αυθαίρετες τιμές $J_0(i) \quad \forall i$
- Επαναλήψεις $n \rightarrow n + 1$ μέχρι **ανεκτή σύγκλιση** (θεωρητικά $n \rightarrow \infty$) μέσω σχέσεων **backup**:

$$J_{n+1}(i) = \min_{a \in \mathcal{A}_i} \left\{ c(i, a) + \gamma \sum_{j=1}^N p_{ij}(a) J_n(j) \right\} \text{ για } i = 1, 2, \dots, N$$
 (από εξισώσεις **Bellman**)
- Τελικός υπολογισμός των βέλτιστων **Costs-to-Go**

$$J^*(i) = \lim_{n \rightarrow \infty} J_n(i), \quad Q^*(i, a) = c(i, a) + \gamma \sum_{j=1}^N p_{ij}(a) J^*(j)$$

και προσδιορισμός της **Βέλτιστης πολιτικής** $\mu^*(i) = \arg \min_{a \in \mathcal{A}_i} Q^*(i, a)$ για $i = 1, 2, \dots, N$

TABLE 12.2 Summary of the Value Iteration Algorithm

1. Start with arbitrary initial value $J_0(i)$ for state $i = 1, 2, \dots, N$.
2. For $n = 0, 1, 2, \dots$, compute

$$J_{n+1}(i) = \min_{a \in \mathcal{A}_i} \left\{ c(i, a) + \gamma \sum_{j=1}^N p_{ij}(a) J_n(j) \right\}, \quad a \in \mathcal{A}_i \quad i = 1, 2, \dots, N$$

Continue this computation until

$$|J_{n+1}(i) - J_n(i)| < \epsilon \quad \text{for each state } i$$

where ϵ is a prescribed tolerance parameter. It is presumed that ϵ is sufficiently small for $J_n(i)$ to be close enough to the optimal cost-to-go function $J^*(i)$. We may then set

$$J_n(i) = J^*(i) \quad \text{for all states } i$$

3. Compute the Q -factor

$$Q^*(i, a) = c(i, a) + \gamma \sum_{j=1}^N p_{ij}(a) J^*(j) \quad \text{for } a \in \mathcal{A}_i \text{ and } i = 1, 2, \dots, N$$

Hence, determine the optimal policy as a greedy policy for $J^*(i)$:

$$\mu^*(i) = \arg \min_{a \in \mathcal{A}_i} Q^*(i, a)$$

Ο αλγόριθμος **Value Iteration** αν συγκλίνει σε ικανοποιητικό χρόνο, αποφεύγει υπολογισμούς **Q -factors** και ενδιάμεση ανανέωση πολιτικής σε κάθε βήμα όπως ο **Policy Iteration**

ΣΤΟΧΑΣΤΙΚΕΣ ΔΙΑΔΙΚΑΣΙΕΣ & ΒΕΛΤΙΣΤΟΠΟΙΗΣΗ ΣΤΗ ΜΗΧΑΝΙΚΗ ΜΑΘΗΣΗ

Παράδειγμα Δυναμικού Προγραμματισμού: Βελτιστοποίηση Δρομολόγησης (Επανάληψη)

Εύρεση Δρόμων Ελάχιστου Κόστους από Κόμβο A σε Κόμβο J μέσω του μονο-κατεύθυντικού γράφου όπως στο σχήμα με κατεύθυνση γραμμών $A \rightarrow \Delta$

Ενδεικτικό κόστος γραμμών: $A \rightarrow B: 2, B \rightarrow A: \infty$

$B \rightarrow F: 4, F \rightarrow B: \infty$

Ενδεικτικό κόστος δρόμου: Δρόμος $\{A, B, F, I, J\}: 2 + 4 + 3 + 4 = 13$

Κατάσταση Περιβάλλοντος: Κόμβος σε παρούσα διερεύνηση $\{A, B, \dots, J\}$

Αποφάσεις Agent: Επόμενος κόμβος για διερεύνηση $\{up, down, straight\}$

Αναδρομικός Υπολογισμός *Q-Factors*:

$$Q(H, down) = 3, \quad Q(I, up) = 4$$

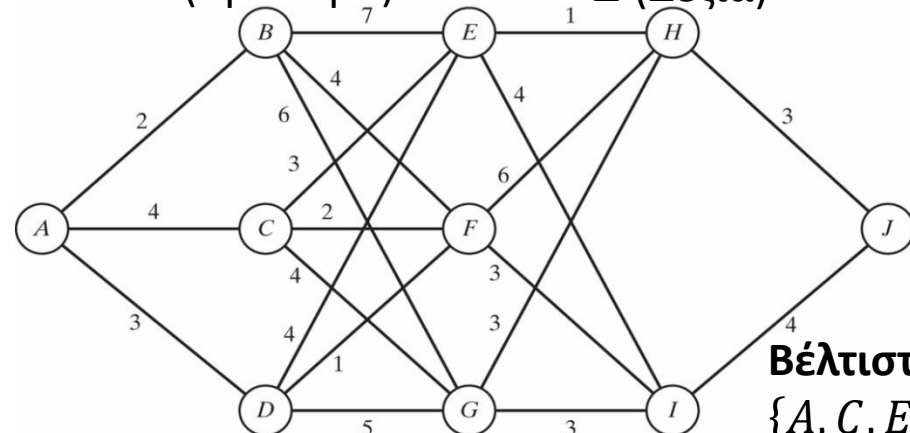
$$Q(E, straight) = 1 + 3 = 4, \quad Q(E, down) = 4 + 4 = 8$$

$$Q(F, up) = 6 + 3 = 9, \quad Q(F, down) = 3 + 4 = 7$$

.....

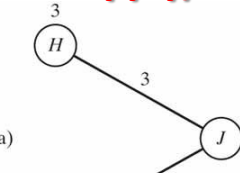
Κατεύθυνση Γραμμών

A (Αριστερά) $\longrightarrow \Delta$ (Δεξιά)

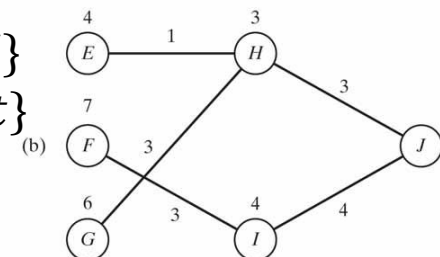


Βέλτιστοι Δρόμοι Κόστους 11:

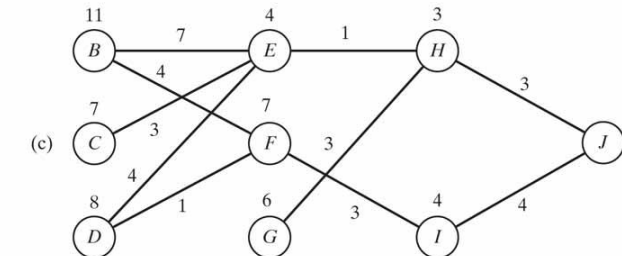
$\{A, C, E, H, J\}, \{A, D, E, H, J\}, \{A, D, F, I, J\}$



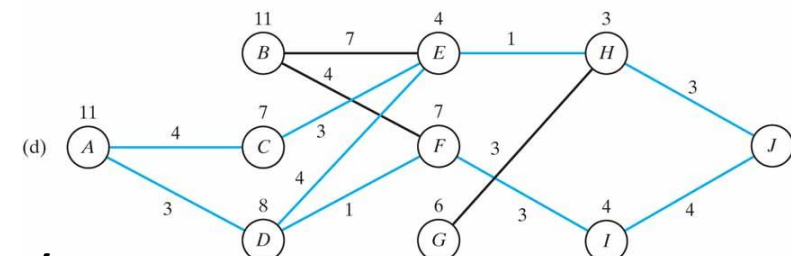
(a)



(b)



(c)



(d)

Αλγόριθμοι Δυναμικού Προγραμματισμού **Bellman-Ford** στηρίζουν την δρομολόγηση **Border Gateway Protocols (BGP)** ανάμεσα στα ~70,000 Αυτόνομα Συστήματα (**Autonomous Systems, AS**) στο **Internet** (~880,000 γνωστά δίκτυα)

ΣΤΟΧΑΣΤΙΚΕΣ ΔΙΑΔΙΚΑΣΙΕΣ & ΒΕΛΤΙΣΤΟΠΟΙΗΣΗ ΣΤΗ ΜΗΧΑΝΙΚΗ ΜΑΘΗΣΗ

Σύνοψη Εννοιών Δυναμικού Προγραμματισμού (1/2)

Βασικές Παράμετροι Δυναμικού Προγραμματισμού

Ορισμός **Άμεσου (Observed) Κόστους**: $g(i, a, j)$ για μετάβαση $i \rightarrow j$ με απόφαση a

Ορισμός **Άμεσου Αναμενόμενου Κόστους**: $c(i, a) \triangleq \sum_{j=1}^N p_{ij} g(i, a, j)$ για $\forall i$ και $a \in \mathcal{A}_i$

Ορισμός **Cost-to-Go** : $J^\mu(i) = c(i, \mu(i)) + \gamma \sum_{j=1}^N p_{ij}(\mu(i)) J^\mu(j)$ για $\forall i$ και πολιτική $\mu(i)$

Βέλτιστα **Cost-to-Go (Bellman)**: $J^*(i) = \min_{a \in \mathcal{A}_i} \left(c(i, a) + \gamma \sum_{j=1}^N p_{ij} J^*(j) \right), i = 1, 2, \dots, N$

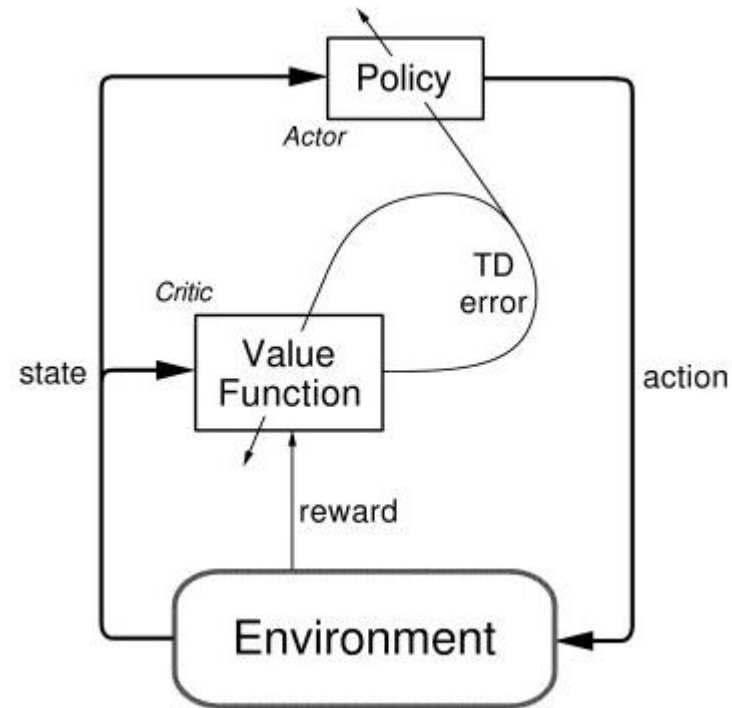
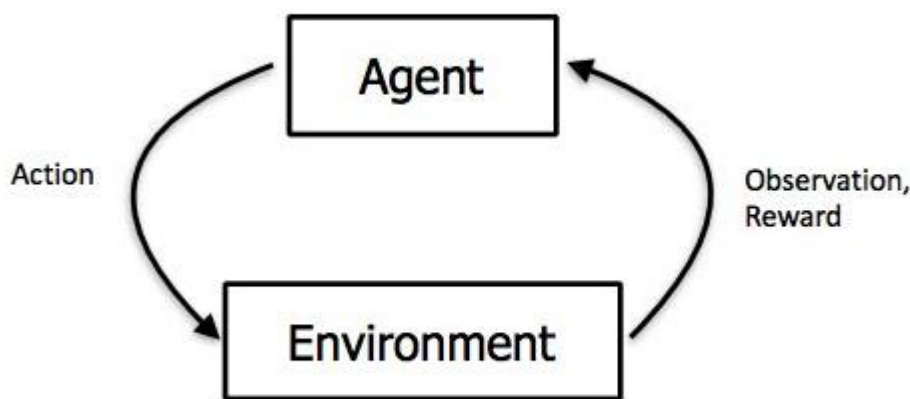
Ορισμός **Q-Factors**: $Q^\mu(i, a) \triangleq c(i, a) + \gamma \sum_{j=1}^N p_{ij}(a) J^\mu(j)$ για $\forall i$ και $\forall a \in \mathcal{A}_i$

ΣΤΟΧΑΣΤΙΚΕΣ ΔΙΑΔΙΚΑΣΙΕΣ & ΒΕΛΤΙΣΤΟΠΟΙΗΣΗ ΣΤΗ ΜΗΧΑΝΙΚΗ ΜΑΘΗΣΗ

Σύνοψη Εννοιών Δυναμικού Προγραμματισμού (2/2)

Μοντέλο Actor – Critic

(**A.G. Barto, R.S. Sutton & C.W. Anderson**, "Neuronlike adaptive elements that can solve difficult learning control problems," IEEE Transactions on Systems, Man, and Cybernetics, vol. SMC-13, Sept. – Oct. 1983)



ΣΤΟΧΑΣΤΙΚΕΣ ΔΙΑΔΙΚΑΣΙΕΣ & ΒΕΛΤΙΣΤΟΠΟΙΗΣΗ ΣΤΗ ΜΗΧΑΝΙΚΗ ΜΑΘΗΣΗ

Απευθείας Προσεγγιστικές Μέθοδοι Δυναμικού Προγραμματισμού (1/3)

Οι δύο αλγόριθμοι Δυναμικού Προγραμματισμού (*Value Iteration & Policy Iteration*) προαπαιτούν γνώση των **πιθανοτήτων μεταβάσεων** $p_{ij}(a)$ και του **άμεσα αναμενόμενου κόστους κατάστασης**

$$c(i, a) = \sum_{j=1}^N p_{ij}(a)g(i, a, j)$$

εκτιμώμενου με βάση τα γνωστά **observed κόστη μετάβασης** $i \rightarrow j$ με απόφαση $a = \mu(i)$

$$g(i, a, j) = g(i, \mu(i), j) \triangleq g(i, j)$$

Οι απευθείας προσεγγιστικές μέθοδοι (**Direct Approximate Dynamic Programming Methods**) εκτιμούν τις πιθανότητες μετάβασης και επομένως τα αναμενόμενα κόστη καταστάσεων - αποφάσεων $c(i, a)$ πολιτικών $a = \mu(i)$

Ενσωματώνονται στους δύο βασικούς αλγόριθμους Δυναμικού Προγραμματισμού με τις εξής παραλλαγές:

- **Value Iteration → Temporal-Difference TD(0) Learning**
- **Policy Iteration → Q-Learning**

Γενική Μεθοδολογία – Απαιτήσεις

- Οι προσομοιώσεις **Monte Carlo** δημιουργούν σενάρια πολλαπλών πιθανών τροχιών (*system trajectories*) της εξέλιξης του **Markov Decision Process** σε κάθε **επεισόδιο** (*episode*) από μια αρχική κατάσταση i_0 μέχρι κάποια τελική $i_T = TERMINAL$ (T είναι το βήμα n που η κατάσταση $i_n \rightarrow i_T$ και τερματίζεται το **επεισόδιο**). Η διαδικασία μάθησης συνήθως περιλαμβάνει πολλά ανεξάρτητα **επεισόδια** με διαφορετικές *trajectories*
- Οι τιμές συναρτήσεων **cost-to-go** $J(i)$ ανανεώνονται σε κάθε προσομοίωση με προσθήκη του (γνωστού) **άμεσου (observed) κόστους μετάβασης** $g(i, j)$ σε επισκέψεις προσομοιωμένης τροχιάς μεταβάσεων από κατάσταση i προς κατάσταση j
- Οι μέθοδοι **Monte Carlo** απαιτούν γνώση της δομής του περιβάλλοντος από εμπειρία (όχι από πρότερη γνώση πιθανοτήτων), διαχειρήσιμο αριθμό παρατηρήσιμων (**observable**) καταστάσεων και σημαντικό αριθμό από *trajectories* για καλές εκτιμήσεις

ΣΤΟΧΑΣΤΙΚΕΣ ΔΙΑΔΙΚΑΣΙΕΣ & ΒΕΛΤΙΣΤΟΠΟΙΗΣΗ ΣΤΗ ΜΗΧΑΝΙΚΗ ΜΑΘΗΣΗ

Απευθείας Προσεγγιστικές Μέθοδοι Δυναμικού Προγραμματισμού (3/3)

Ορισμοί *on-policy, off-policy*

- Η ***on-policy*** σε κάθε βήμα εκτιμά με προσομοιώσεις **Monte Carlo** το κόστος $J^\mu(i)$ των καταστάσεων i μιας τροχιάς (**trajectory**) όταν ακολουθείται η υπό αξιολόγηση **συνολική πολιτική** μ . Με επαναλήψεις τροχιών που περιλαμβάνουν διορθωτικές αποφάσεις $i \rightarrow \alpha$ οδηγούνται τα $J^\mu(i)$ σε διαδοχικές μειώσεις: **Value Iteration** \rightarrow **TD(0)-Learning**
- Η ***off-policy*** συγκρίνει εναλλακτικές αποφάσεις σε καταστάσεις του περιβάλλοντος i μιας τροχιάς (**trajectory**) και σε κάθε βήμα **επιλέγει** με απληστία αποφάσεις a με το ελάχιστο $Q(i, a)$ στην παρούσα κατάσταση i . Τα **Cost-to-Go** $J^\mu(j)$ μιας προσωρινής πολιτικής μ εκτιμώνται από προσομοιώσεις **Monte Carlo** των **trajectories** χωρίς να συμπεριλαμβάνουν βελτιώσεις $i \rightarrow \alpha$ που ίσως προκύψουν από τα **Q-Factors**: **Policy Iteration** \rightarrow **Q-Learning**

ΣΤΟΧΑΣΤΙΚΕΣ ΔΙΑΔΙΚΑΣΙΕΣ & ΒΕΛΤΙΣΤΟΠΟΙΗΣΗ ΣΤΗ ΜΗΧΑΝΙΚΗ ΜΑΘΗΣΗ

Προσεγγιστικός Αλγόριθμος $TD(0)$ Learning (1/2)

Value Iteration → Temporal-Difference $TD(0)$ Learning

Εξισώσεις **Bellman** υπολογισμού **costs-to-go** από i_n στο βήμα $n < T$ με τελική κατάσταση i_T :

$$J^\mu(i_n) = \mathbb{E}[g(i_n, i_{n+1}) + \gamma J^\mu(i_{n+1})] = \mathbb{E} \left[\sum_{k=0}^{T-n-1} \gamma^k g(i_{n+k}, i_{n+k+1}) \right], n = 0, 1, \dots, T-1$$

Με επανειλημμένες προσομοιώσεις **Monte Carlo** δημιουργούμε **trajectories** του συστήματος και μαθαίνουμε τα $J^\mu(i_n)$ μέσω **Robbins-Monro Successive Approximations** που διορθώνουν εκτιμήσεις τιμών τους (**updates**) κατά την επίσκεψη της κατάστασης i_n με συντελεστή μάθησης (**learning rate**) η_n :

$$J^\mu(i_n) := J^\mu(i_n) + \eta_n [g(i_n, i_{n+1}) + \gamma J^\mu(i_{n+1}) - J^\mu(i_n)] = J^\mu(i_n) + \eta_n d_n$$

Το σφάλμα $d_n \triangleq g(i_n, i_{n+1}) + \gamma J^\mu(i_{n+1}) - J^\mu(i_n)$, $n = 0, 1, \dots, T-1$ ονομάζεται χρονική διαφορά (**Temporal Difference, TD**) στο βήμα n και οδηγεί τα $J^\mu(i_n)$ προς τη **σύγκλιση**

ΣΤΟΧΑΣΤΙΚΕΣ ΔΙΑΔΙΚΑΣΙΕΣ & ΒΕΛΤΙΣΤΟΠΟΙΗΣΗ ΣΤΗ ΜΗΧΑΝΙΚΗ ΜΑΘΗΣΗ

Προσεγγιστικός Αλγόριθμος $TD(0)$ Learning (2/2)

Value Iteration → Temporal-Difference $TD(0)$ Learning

Εναλλακτικός αλγόριθμος **update** προκύπτει από την μακρόχρονη επαναληπτική σχέση:

$$J^\mu(i_n) := J^\mu(i_n) + \eta_n \left(\sum_{k=0}^{T-n-1} \gamma^k g(i_{n+k}, i_{n+k+1}) - J^\mu(i_n) \right) = J^\mu(i_n) + \eta_n \sum_{k=0}^{T-n-1} \gamma^k d_{n+k}$$

Τα **costs-to-go** εκτιμώνται σαν μέσοι όροι σε μεγάλο αριθμό M επαναλήψεων προσομοιώσεων με πολλαπλές επισκέψεις καταστάσεων i_n στο βήμα n κάποιου **trajectory**:

$$J^\mu(i_n) = E \left[\sum_{k=0}^{T-n-1} \gamma^k g(i_{n+k}, i_{n+k+1}) \right] \cong \frac{1}{M} \sum_M c(i_n)$$

όπου

$$c(i_n) \triangleq \sum_{k=0}^{T-n-1} \gamma^k g(i_{n+k}, i_{n+k+1}) \text{ και } J^\mu(i_n) = E[c(i_n)]$$

$$J^\mu(i_n) := J^\mu(i_n) + \eta_n (c(i_n) - J^\mu(i_n))$$

με αρχικές συνθήκες $J^\mu(i_n) = 0$, και **learning rate** $\eta_n = 1/n$, $n = 1, 2, \dots, T$

ΣΤΟΧΑΣΤΙΚΕΣ ΔΙΑΔΙΚΑΣΙΕΣ & ΒΕΛΤΙΣΤΟΠΟΙΗΣΗ ΣΤΗ ΜΗΧΑΝΙΚΗ ΜΑΘΗΣΗ

Προσεγγιστικός Αλγόριθμος *Q-Learning* (1/2)

Policy Iteration → *Q-Learning*

- Προσδιορισμός πολιτικής βέλτιστης συμπεριφοράς (*off-policy behavior generation*) μέσω δημιουργίας πολλαπλών *trajectories* (τροχιών) για δυνατά σενάρια αποφάσεων: *Q-Learning*
- Ορίζουμε $s_n \triangleq (i_n, a_n, j_n, g_n)$ στο βήμα n μιας *trajectory* όταν η κατάσταση του περιβάλλοντος οδηγείται σε μετάβαση $i_n \rightarrow i_{n+1} = j_n$ με απόφαση του agent a_n και observed κόστος μετάβασης $g_n = g(i_n, a_n, j_n)$
- Με βάση την καταγραφή των s_n σε προσομοιωμένες *trajectories* ο αλγόριθμος *Q-Learning* οδηγεί το σύστημα στη μάθηση βέλτιστης πολιτικής κατά προσέγγιση του *policy iteration*
- **Προϋπόθεση:** Η i_n που προκύπτει σε μια *trajectory* πρέπει να είναι *fully observable*

ΣΤΟΧΑΣΤΙΚΕΣ ΔΙΑΔΙΚΑΣΙΕΣ & ΒΕΛΤΙΣΤΟΠΟΙΗΣΗ ΣΤΗ ΜΗΧΑΝΙΚΗ ΜΑΘΗΣΗ

Προσεγγιστικός Αλγόριθμος **Q-Learning** (2/2)

Αλγόριθμος Υπολογισμού $Q^*(i, a)$ με Successive Approximations (**Robins-Monro**)

$$Q(i, a) := (1 - \eta)Q(i, a) + \eta \sum_{j=1}^N p_{ij}(a) [g(i, a, j) + \gamma \min_{b \in \mathcal{A}_j} Q(j, b)] \text{ για } \forall(i, a)$$

Από το όριο $Q^*(i, a)$ των επαναλήψεων προσδιορίζεται ο πίνακας βέλτιστης πολιτικής π με αντιστοίχηση

$$\mu^*(i) = \arg \min_{a \in \mathcal{A}_i} Q^*(i, a) \text{ για } i = 1, 2, \dots, N$$

Στοχαστική Παραλλαγή

Έστω ότι η προσομοίωση **Monte Carlo** ορίζει τροχιά (**trajectory**) από αρχική κατάσταση i_0 μέχρι την i_n στο παρόν βήμα n με άπληστες επιλογές (i_n, a_n) που προσδιορίζουν τα **costs-to-go** $J_n(j_n)$ για $i_n \rightarrow j_n$. Ο επαναληπτικός αλγόριθμος ανανεώνει τους **Q-factors** από $Q_n(i, a)$ σε $Q_{n+1}(i, a)$ για προσομοίωση **επεισοδίου** $n = 0, 1, \dots, T$ ως εξής:

- $Q_{n+1}(i, a) = (1 - \eta_n)Q_n(i, a) + \eta_n[g(i, a, j) + \gamma J_n(j)]$ για $(i, a) = (i_n, a_n)$
όπου $J_n(j) = \min_{b \in \mathcal{A}_j} Q_n(j, b)$ και j επόμενη κατάσταση της $i = i_n$ με τα παρόντα **Q-factors**
- $Q_{n+1}(i, a) = Q_n(i, a)$ για όλα τα υπόλοιπα ζεύγη $(i, a) \neq (i_n, a_n)$
- Με την πρόοδο των επαναλήψεων $Q_n(i, a) \rightarrow Q^*(i, a)$, τις βέλτιστες τιμές των **Q-factors**
- Η **learning parameter** η_n είναι φθίνουσα ως προς n , π.χ. $\eta_n = \alpha / (\beta + n)$ με α, β θετικά

Επειδή μια τροχιά με **greedy** αποφάσεις (**exploitation**) μπορεί να αγνοήσει άλλες επιλογές λόγω εκκίνησης από μια κατάσταση, μπορεί να απαιτείται προσομοίωση πολλαπλών **επεισοδίων** για επισκέψεις σε ευρύ φάσμα καταστάσεων (**exploration**). Το εύρος της αναζήτησης ενισχύεται με απόφαση **greedy** με πιθανότητα $(1 - \epsilon)$ ή άλλης με πιθανότητα ϵ

ΣΤΟΧΑΣΤΙΚΕΣ ΔΙΑΔΙΚΑΣΙΕΣ & ΒΕΛΤΙΣΤΟΠΟΙΗΣΗ ΣΤΗ ΜΗΧΑΝΙΚΗ ΜΑΘΗΣΗ

Κατανεμημένη Υλοποίηση Ενισχυτικής Μάθησης

Μοντέλο Συνεργατικής Βελτιστοποίησης μέσω Πολλαπλών Αυτόνομων Agents

Η κατανεμημένη συνεργατική βελτιστοποίηση κωδικοποιήθηκε σαν **Multi-Agent Reinforcement Learning – MARL** από τον **Michael Littman** το 1994

<https://www2.cs.duke.edu/courses/spring07/cps296.3/littman94markov.pdf>

- Επέκταση του Δυναμικού Προγραμματισμού με συνεργασία (**cooperative zero-sum game**) 2+ αυτόνομων **agents**
- Κάθε agent παίρνει αποφάσεις προς βέλτιστες πολιτικές που επηρεάζονται από τις πολιτικές των αυτόνομων συνεργατών του σύμφωνα με μοντέλο **Markov (Stochastic) Game**
- Κατανεμημένη υλοποίηση αλγορίθμου **Q-Learning** με **ασύγχρονα updates** μεταξύ των **agents**
- Ορισμός των **Q-factors** σαν **minimax Q-factors** ώστε να εξαρτώνται και από τις αποφάσεις των συνεργαζομένων **agents**.
- Ο υπολογισμός των **minimax Q-factors** μπορεί να γίνεται με επαναληπτική εφαρμογή **Linear Programs** αλλά με σημαντική υπολογιστική επιβάρυνση. Πρακτικά και για συγκεκριμένες εφαρμογές μπορεί να είναι εξαιρετικά απλός ή να αντιμετωπιστεί με γρήγορους ευριστικούς αλγορίθμους

Εφαρμογή μεγάλης κλίμακας (**70,000 agents/routers**) στο **Border Gateway Protocol (BGP)** για δρομολόγηση προς τα **880,000 γνωστά δίκτυα** του παγκόσμιου **Internet**

ΣΤΟΧΑΣΤΙΚΕΣ ΔΙΑΔΙΚΑΣΙΕΣ & ΒΕΛΤΙΣΤΟΠΟΙΗΣΗ ΣΤΗ ΜΗΧΑΝΙΚΗ ΜΑΘΗΣΗ

Παράδειγμα Δυναμικού Προγραμματισμού: Δρομολόγηση BGP στο Internet - RFC 4271 (1/7)

Υλικό από Παρουσιάσεις Μαθήματος Διαχείριση Δικτύων – Ευφυή Δίκτυα ΣΗΜΜΥ Ε.Μ.Π.

https://webvm.netmode.ntua.gr/courses/wp-content/uploads/2019/10/NetMan_2019_10_14.pdf

Το παγκόσμιο **Internet** αποτελείται (**6/2020**) από ~**880,000** γνωστά δίκτυα τελικούς προορισμούς (π.χ. Δίκτυο ΕΜΠ, IP: 147.102.0.0/16), οργανωμένα σε ~**70,000** Αυτόνομα Συστήματα (**Autonomous Systems, AS**) με διαχειριστική αυτονομία (π.χ. GRNET/ΕΔΕΤ, Autonomous System Number - **ASN 5408**)

Η δρομολόγηση εντός Αυτόνομης Κοινότητας γίνεται με βάση κεντρικά ρυθμιζόμενα πρωτόκολλα (**Interior Gateway Protocols – IGP**, π.χ. OSPF) ενώ μεταξύ των **70,000 AS's** μέσω γενικών πινάκων δρομολόγησης σε συνοριακούς δρομολογητές (**Border Gateways, Border Routers**) με καταχωρήσεις για όλα τα ~**880,000** γνωστά δίκτυα του **Internet**

Η δημιουργία – ανανέωση των γενικών πινάκων δρομολόγησης (σε ηλεκτρονική μνήμη των Border Gateways) γίνεται με το **Border Gateway Protocol – BGP (RFC 4271)**

- Οι **Border Routers (Gateways)** των **AS** ανακοινώνουν (μέσω **BGP signaling**) στα **70,000 AS's** του **Internet**, τα **880,000** δίκτυα – τελικούς προορισμούς τα οποία είτε ανήκουν σε αυτά ή είναι προσπελάσιμα (**reachable**) διαμέσου αυτών, με εκτιμήσεις κόστους (βάρους) βέλτιστων **inter-AS** δρόμων προς κάθε δίκτυο - προορισμό
- Οι **Border Gateways** υπολογίζουν αυτόνομα βέλτιστες διαδρομές προς όλους τους τελικούς προορισμούς με βάση τις προτιμήσεις (πολιτικές) των διαχειριστών τους, όποτε κρίνουν πως αλλαγές τοπολογίας ή πολιτικής ή επίδοσης επιβάλλουν ανανέωση δρόμων
- Ο κατανεμημένος προσδιορισμός βέλτιστης δρομολόγησης ορίζει κόστη προς τους **880,000** τελικούς προορισμούς βάση πληροφοριών **reachability** και μετρήσεων κόστους διασύνδεσης προς τα γειτονικά **AS**. Βασίζεται στον Αλγόριθμο **Bellman – Ford**

ΣΤΟΧΑΣΤΙΚΕΣ ΔΙΑΔΙΚΑΣΙΕΣ & ΒΕΛΤΙΣΤΟΠΟΙΗΣΗ ΣΤΗ ΜΗΧΑΝΙΚΗ ΜΑΘΗΣΗ

Παράδειγμα Δυναμικού Προγραμματισμού: Δρομολόγηση BGP στο Internet - RFC 4271 (2/7)

Αλγόριθμος Distance Vector (Bellman – Ford) BGP (Bellman – Ford)

- Οι συνοριακοί δρομολογητές (*Border Gateways*) κάθε Αυτόνομης Περιοχής (*AS*) εντοπίζουν τους βέλτιστους δρόμους (*shortest paths*) ενδιάμεσων και τελικού *AS* προς όλα τα γνωστά δίκτυα προορισμούς εκτελώντας αλγόριθμο βασισμένο στον δυναμικό προγραμματισμό (*dynamic programming*) που εισήγαγε ο *Bellman*
- Χρειάζεται γνώση διανυσμάτων κόστους (βαρών) των άμεσων συνδέσεων (*Inter AS Interfaces*) και εκτιμήσεις κόστους (αποστάσεις, *distance vectors*) προς όλα τα γνωστά δίκτυα προορισμούς στο *Internet* (880,000+, 6/2020)
- Η βελτιστοποίηση βασίζεται σε κατανεμημένο αλγόριθμο *Bellman - Ford* που υλοποιείται μέσω σηματοδοσίας ανακοινώσεων (*BGP Announcements*) μεταξύ όλων των (70,000+, 6/2020) Αυτόνομων Περιοχών (*AS*) του *Internet* με πληροφορίες δρομολόγησης και εκτιμήσεις κόστους
- Από τη σκοπιά του *Reinforcement Learning* το *BGP* μπορεί να θεωρηθεί κατανεμημένη επέκταση του Δυναμικού Προγραμματισμού με συνεργασία (*cooperative game*) 70,000 αυτόνομων *Agents*

To **BGP** αποτελεί κύριο παράγοντα επιτυχίας της παγκόσμιας επανάστασης του *Internet*

ΣΤΟΧΑΣΤΙΚΕΣ ΔΙΑΔΙΚΑΣΙΕΣ & ΒΕΛΤΙΣΤΟΠΟΙΗΣΗ ΣΤΗ ΜΗΧΑΝΙΚΗ ΜΑΘΗΣΗ

Παράδειγμα Δυναμικού Προγραμματισμού: Δρομολόγηση BGP στο Internet - RFC 4271 (3/7)

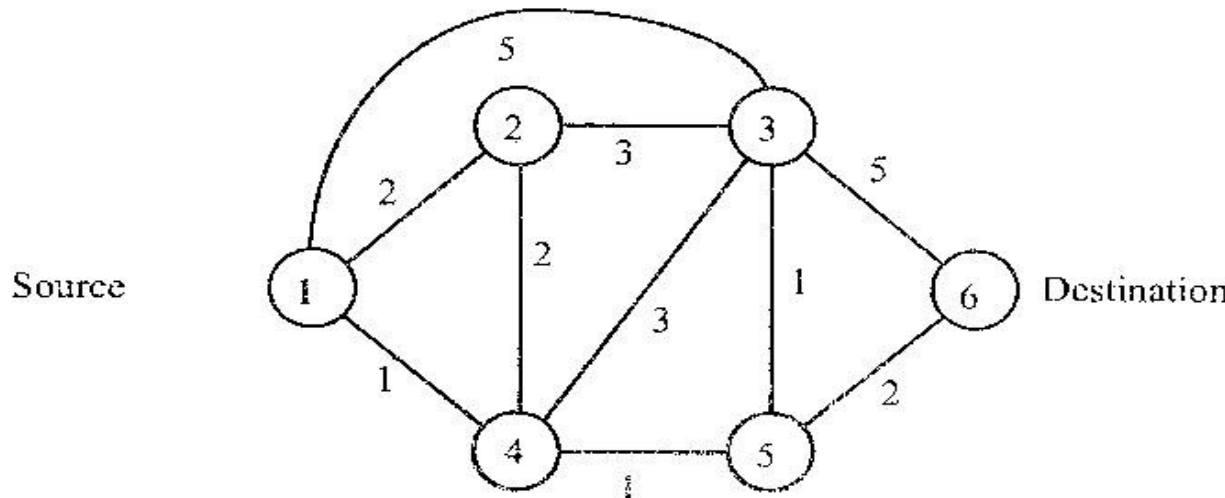
Δίκτυο (Γράφος) Αναφοράς Παραδείγματος, $N = 6$ Κόμβων

Οι κόμβοι του γράφου παριστούν τα διάφορα **AS** του **Internet**

Τα δίκτυα πηγής και προορισμού των χρηστών είναι ενσωματωμένα στους κόμβους (**AS**) **Source – Destination** του γράφου

Τα κόστη των γραμμών του γράφου αφορούν και στις 2 κατευθύνσεις και εκτιμώνται από τους άμεσα συνδεόμενους κόμβους (**Border Gateways**) με βάση προτιμήσεις των διαχειριστών

- Στο παράδειγμα που ακολουθεί υπολογίζονται δένδρα ελαχίστων δρόμων (**shortest path trees**) από όλους τους κόμβους (**AS**) προς την **ρίζα** {6}
- Η επιλογή του ρόλου της ρίζας του δένδρου (πηγή ή προορισμός) έγινε αυθαίρετα. Οι αλγόριθμοι ισχύουν κατ' αναλογία για αντίστροφους ρόλους ρίζας



ΣΤΟΧΑΣΤΙΚΕΣ ΔΙΑΔΙΚΑΣΙΕΣ & ΒΕΛΤΙΣΤΟΠΟΙΗΣΗ ΣΤΗ ΜΗΧΑΝΙΚΗ ΜΑΘΗΣΗ

Παράδειγμα Δυναμικού Προγραμματισμού: Δρομολόγηση BGP στο Internet - RFC 4271 (4/7)

Υπολογισμός Δένδρου Ελάχιστων Δρόμων (Shortest Path Tree) προς $\{6\}$ από $\{1, 2, 3, 4, 5\}$

Εφαρμογή Αλγορίθμου Q-Learning (Off-policy) με Asynchronous Updates

- $\{i\}$ Κατάσταση (**State**) του γράφου, κόμβος (**AS**) $i = 1, 2, \dots, N$ (στο παράδειγμα $N = 6$, μέχρι 80,000 στο **Internet**)
- $P^{(n)}(i)$ Απόφαση (**Action**): Επόμενος κόμβος (**AS**) από τον $\{i\}$ προς τον $\{6\}$, ενδιάμεσος ή τελικός στην επανάληψη (**Iteration**) n
- d_{ij} Κόστος (βάρος) γραμμής (i, j) στην επανάληψη n (**Transition Cost**) ρυθμιζόμενο από την πολιτική δρομολόγησης του $\{i\}$ ή/και απευθείας μετρήσεις των αμέσων γειτόνων $\{i, j\}$. Άν $d_{ij} = c, \forall (i, j) \Rightarrow \text{min hop routing}$
- $L^{(n)}(i)$ **Labels, Q-Factors** $L^{(n)}(i) \triangleq Q(i, P^{(n)}(i))$: Εκτιμήσεις ελάχιστου κόστους από τον $\{i\}$ προς τον $\{6\}$ στην επανάληψη n (ανανεώνονται **ασύγχρονα**, σύμφωνα με τις **πιο πρόσφατες εκτιμήσεις** ανάλογα με την σειρά εκτέλεσης των ανανεώσεων – **updates**). Οι τροχιές (**trajectories**) αφορούν στις επιλογές δρόμων από τον $\{i\}$ προς τον $\{6\}$ σε κάθε επανάληψη

Περιγραφή Αλγορίθμου Bellman – Ford

- Αρχικά έχουμε $L_i^{(0)} = \infty \quad \forall i \neq 6, L_6^{(n)} = 0 \quad \forall n,$
- Σε κάθε διαδοχική επανάληψη (**iteration**) $n = 1, 2, \dots$ και $\forall i$ ανανεώνουμε **ασύγχρονα** τις εκτιμήσεις ελαχίστου κόστους από την παρούσα κατάσταση προς τον προορισμό με βάση τις σχέσεις του Δυναμικού Προγραμματισμού σύμφωνα με τις πιο πρόσφατες εκτιμήσεις (**updates**) των $L_j^{(n)}$ για όλους τους άμεσους γείτονες j του i :

$$L_i^{(n+1)} = \min_j \{L_j^{(n)} + d_{ij}\} \quad \forall i \neq 6$$

- Άν $L_i^{(n+1)} = L_i^{(n)}$ $\forall i$ σταματάμε τον αλγόριθμο και προσδιορίζουμε τους βέλτιστους δρόμους από όλα τα $\{i\}$ προς τον προορισμό $\{6\}$ σύμφωνα με τις αποφάσεις $P^{(n)}(i)$ σαν **Shortest Path Tree** με ρίζα τον $\{6\}$
- Πολυπλοκότητα αλγορίθμου: $O(N^3)$

ΣΤΟΧΑΣΤΙΚΕΣ ΔΙΑΔΙΚΑΣΙΕΣ & ΒΕΛΤΙΣΤΟΠΟΙΗΣΗ

Παράδειγμα Δυναμικού Προγραμματισμού: Δρομολόγηση BGP στο Internet - RFC 4271 (5/7)

Εκτέλεση Αλγορίθμου για Προορισμό {6}

Παράδειγμα: INITIAL LABELS: $L(1)=L(2)=\dots=L(5)=\infty$, $L(6)=0$

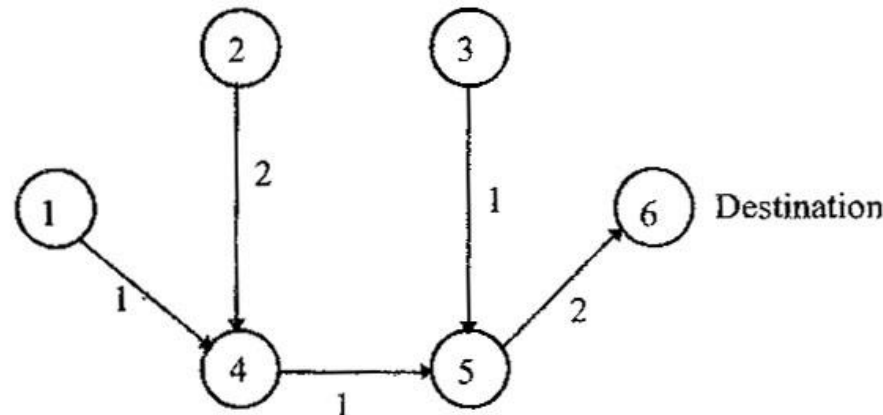
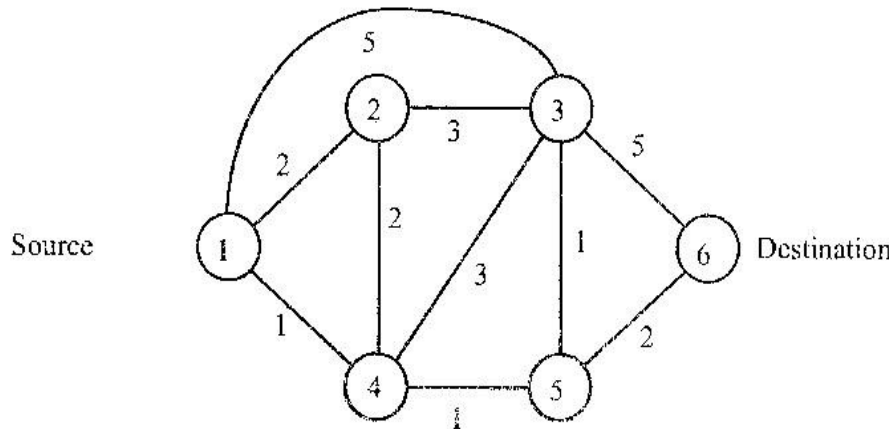
UPDATE ORDER 5,4,3,2,1

Iteration Number	Labels $L(n)$, Current Predecessor Node $P(n)$				
	$L(5), P(5)$	$L(4), P(4)$	$L(3), P(3)$	$L(2), P(2)$	$L(1), P(1)$
1	2 6	3 5	3 5	5 4	4 4
2	2 6	3 5	3 5	5 4	4 4

Η ταχύτητα σύγκλησης εξαρτάται από την σειρά ανανέωσης των Labels των κόμβων

UPDATE ORDER 1,2,3,4,5

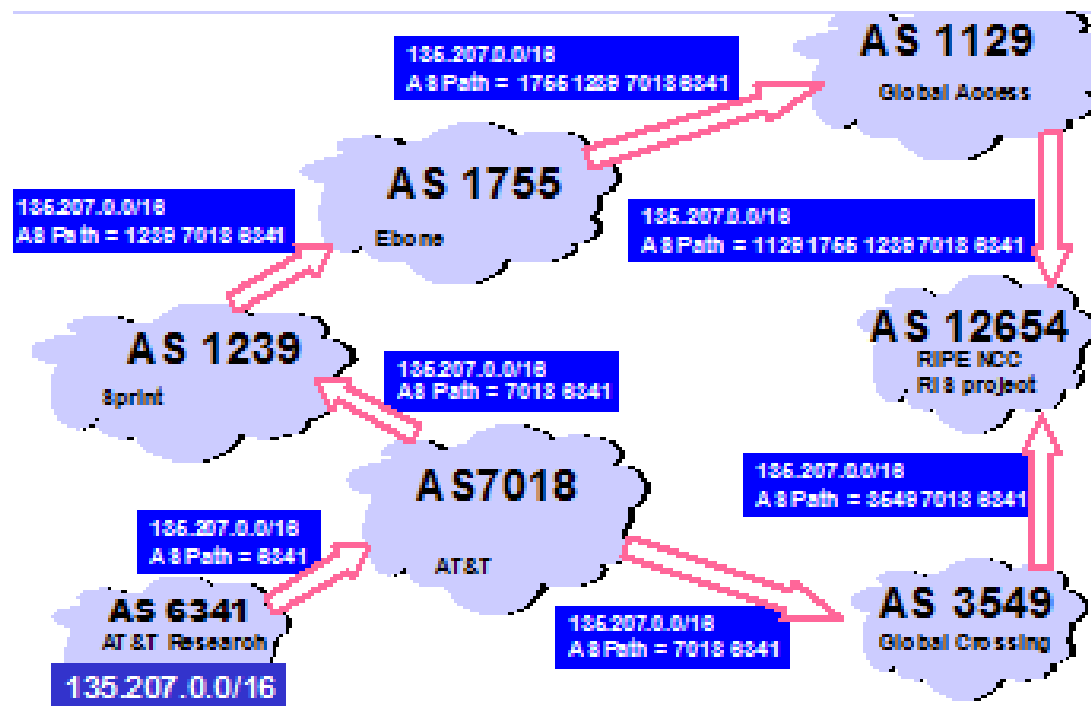
Iteration Number	Labels $L(n)$, Current Predecessor Node $P(n)$				
	$L(1), P(1)$	$L(2), P(2)$	$L(3), P(3)$	$L(4), P(4)$	$L(5), P(5)$
1	∞ -	∞ -	5 6	8 3	2 6
2	9 4	8 3	3 5	3 5	2 6
3	4 4	5 4	3 5	3 5	2 6
4	4 4	5 4	3 5	3 5	2 6



ΣΤΟΧΑΣΤΙΚΕΣ ΔΙΑΔΙΚΑΣΙΕΣ & ΒΕΛΤΙΣΤΟΠΟΙΗΣΗ

Παράδειγμα Δυναμικού Προγραμματισμού: Δρομολόγηση BGP στο Internet - RFC 4271 (6/7)

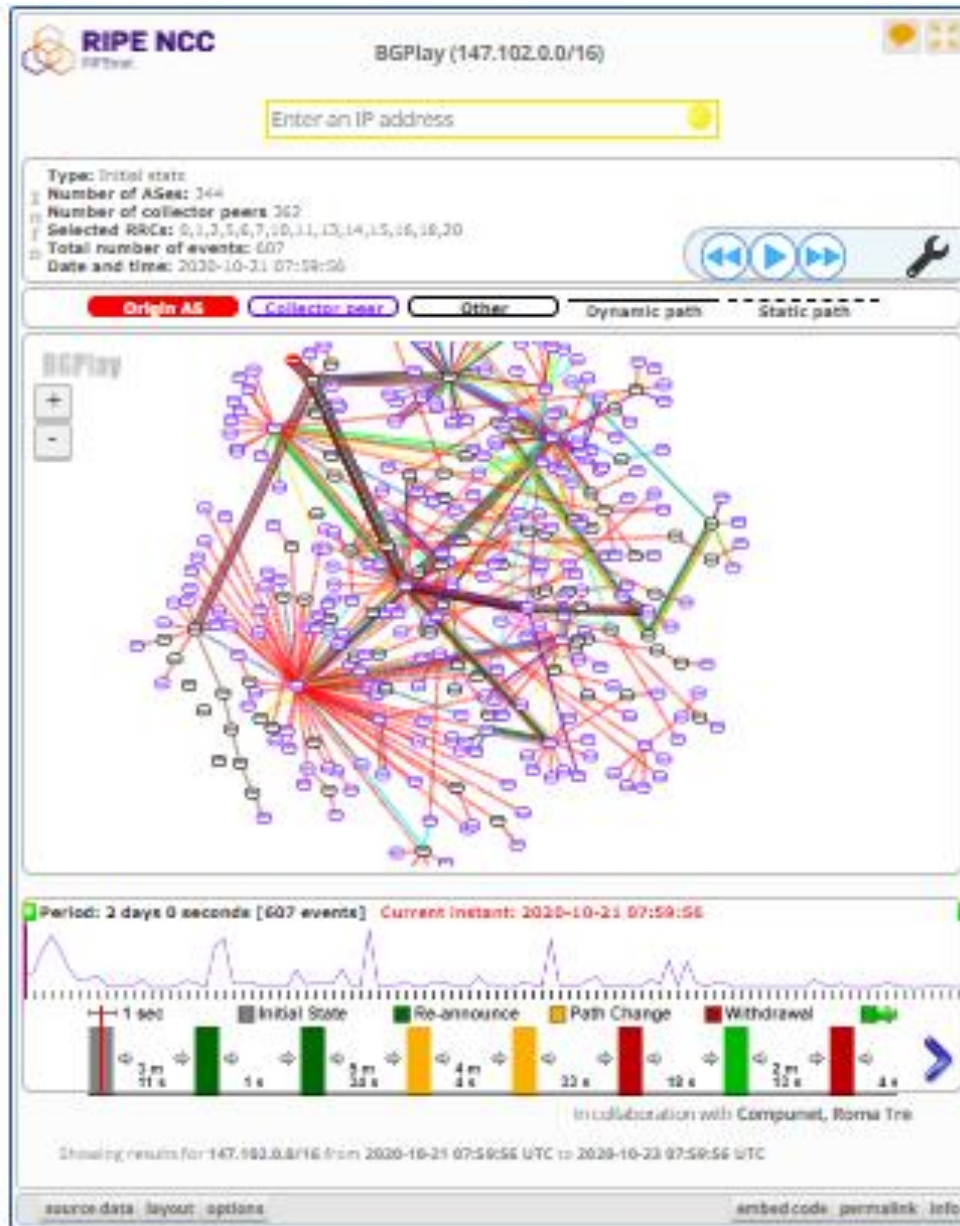
Παράδειγμα Μάθησης - Ανακοίνωσης Δικτύου 135.207.0.0/16
(από παρουσίαση του Timothy G. Griffin, AT&T Research, Paris 2002)



ΣΤΟΧΑΣΤΙΚΕΣ ΔΙΑΔΙΚΑΣΙΕΣ & ΒΕΛΤΙΣΤΟΠΟΙΗΣΗ

Παράδειγμα Δυναμικού Προγραμματισμού: Δρομολόγηση BGP στο Internet - RFC 4271 (7/7)

Πραγματική Εικόνα των Δρόμων BGP (31-10-2020)



**ΠΑΡΟΧΗ INTERNET ΣΤΟ NTUA (ASN: 3323)
GRNET (ASN: 5408), GÉANT (ASN: 20965),
COGENT-174 (ASN: 174), TELIANET (ASN: 1299)**
<https://stat.ripe.net/special/bgplay>

GÉANT Tier 1/2 Providers (Internet feeds)

- COGENT-174 (174)
- TELIANET (1299)